

# Starkniederschlagshöhen und -spenden gemäß KOSTRA-DWD-2020

## Rasterfeld 196123

(Zeile 196, Spalte 123)

### Regenspende und Bemessungsniederschlagswerte in Abhängigkeit von Wiederkehrzeit T und Dauerstufe D

| Dauerstufe D |     | Wiederkehrzeit T |            |       |            |       |            |       |            |       |            |       |            |       |            |       |            |       |            |
|--------------|-----|------------------|------------|-------|------------|-------|------------|-------|------------|-------|------------|-------|------------|-------|------------|-------|------------|-------|------------|
|              |     | 1 a              |            | 2 a   |            | 3 a   |            | 5 a   |            | 10 a  |            | 20 a  |            | 30 a  |            | 50 a  |            | 100 a |            |
| min          | Std | mm               | l / (s ha) | mm    | l / (s ha) | mm    | l / (s ha) | mm    | l / (s ha) | mm    | l / (s ha) | mm    | l / (s ha) | mm    | l / (s ha) | mm    | l / (s ha) | mm    | l / (s ha) |
| 5            |     | 6,8              | 226,7      | 8,4   | 280,0      | 9,4   | 313,3      | 10,7  | 356,7      | 12,6  | 420,0      | 14,5  | 483,3      | 15,7  | 523,3      | 17,4  | 580,0      | 19,8  | 660,0      |
| 10           |     | 9,1              | 151,7      | 11,2  | 186,7      | 12,5  | 208,3      | 14,3  | 238,3      | 16,8  | 280,0      | 19,3  | 321,7      | 21,0  | 350,0      | 23,2  | 386,7      | 26,4  | 440,0      |
| 15           |     | 10,6             | 117,8      | 13,1  | 145,6      | 14,6  | 162,2      | 16,7  | 185,6      | 19,6  | 217,8      | 22,6  | 251,1      | 24,5  | 272,2      | 27,1  | 301,1      | 30,8  | 342,2      |
| 20           |     | 11,8             | 98,3       | 14,6  | 121,7      | 16,3  | 135,8      | 18,5  | 154,2      | 21,7  | 180,8      | 25,1  | 209,2      | 27,2  | 226,7      | 30,1  | 250,8      | 34,2  | 285,0      |
| 30           |     | 13,6             | 75,6       | 16,8  | 93,3       | 18,8  | 104,4      | 21,4  | 118,9      | 25,1  | 139,4      | 28,9  | 160,6      | 31,5  | 175,0      | 34,8  | 193,3      | 39,5  | 219,4      |
| 45           |     | 15,7             | 58,1       | 19,3  | 71,5       | 21,6  | 80,0       | 24,6  | 91,1       | 28,9  | 107,0      | 33,3  | 123,3      | 36,2  | 134,1      | 40,0  | 148,1      | 45,4  | 168,1      |
| 60           | 1   | 17,3             | 48,1       | 21,3  | 59,2       | 23,8  | 66,1       | 27,1  | 75,3       | 31,8  | 88,3       | 36,7  | 101,9      | 39,9  | 110,8      | 44,1  | 122,5      | 50,1  | 139,2      |
| 90           | 1,5 | 19,8             | 36,7       | 24,5  | 45,4       | 27,3  | 50,6       | 31,1  | 57,6       | 36,5  | 67,6       | 42,1  | 78,0       | 45,7  | 84,6       | 50,5  | 93,5       | 57,4  | 106,3      |
| 120          | 2   | 21,8             | 30,3       | 26,9  | 37,4       | 30,1  | 41,8       | 34,2  | 47,5       | 40,2  | 55,8       | 46,3  | 64,3       | 50,4  | 70,0       | 55,6  | 77,2       | 63,2  | 87,8       |
| 180          | 3   | 25,0             | 23,1       | 30,8  | 28,5       | 34,4  | 31,9       | 39,1  | 36,2       | 46,0  | 42,6       | 53,0  | 49,1       | 57,6  | 53,3       | 63,6  | 58,9       | 72,3  | 66,9       |
| 240          | 4   | 27,5             | 19,1       | 33,9  | 23,5       | 37,8  | 26,3       | 43,0  | 29,9       | 50,5  | 35,1       | 58,3  | 40,5       | 63,3  | 44,0       | 70,0  | 48,6       | 79,5  | 55,2       |
| 360          | 6   | 31,4             | 14,5       | 38,7  | 17,9       | 43,2  | 20,0       | 49,2  | 22,8       | 57,7  | 26,7       | 66,6  | 30,8       | 72,4  | 33,5       | 80,0  | 37,0       | 90,8  | 42,0       |
| 540          | 9   | 35,8             | 11,0       | 44,2  | 13,6       | 49,4  | 15,2       | 56,2  | 17,3       | 66,0  | 20,4       | 76,1  | 23,5       | 82,7  | 25,5       | 91,4  | 28,2       | 103,8 | 32,0       |
| 720          | 12  | 39,4             | 9,1        | 48,6  | 11,3       | 54,3  | 12,6       | 61,7  | 14,3       | 72,5  | 16,8       | 83,6  | 19,4       | 90,9  | 21,0       | 100,4 | 23,2       | 114,0 | 26,4       |
| 1080         | 18  | 45,0             | 6,9        | 55,5  | 8,6        | 62,0  | 9,6        | 70,5  | 10,9       | 82,8  | 12,8       | 95,5  | 14,7       | 103,8 | 16,0       | 114,6 | 17,7       | 130,2 | 20,1       |
| 1440         | 24  | 49,4             | 5,7        | 61,0  | 7,1        | 68,1  | 7,9        | 77,5  | 9,0        | 91,0  | 10,5       | 104,9 | 12,1       | 114,0 | 13,2       | 126,0 | 14,6       | 143,1 | 16,6       |
| 2880         | 48  | 62,0             | 3,6        | 76,5  | 4,4        | 85,4  | 4,9        | 97,2  | 5,6        | 114,1 | 6,6        | 131,6 | 7,6        | 143,0 | 8,3        | 158,0 | 9,1        | 179,5 | 10,4       |
| 4320         | 72  | 70,8             | 2,7        | 87,3  | 3,4        | 97,5  | 3,8        | 110,9 | 4,3        | 130,3 | 5,0        | 150,2 | 5,8        | 163,3 | 6,3        | 180,4 | 7,0        | 204,9 | 7,9        |
| 5760         | 96  | 77,8             | 2,3        | 95,9  | 2,8        | 107,1 | 3,1        | 121,9 | 3,5        | 143,1 | 4,1        | 165,1 | 4,8        | 179,4 | 5,2        | 198,2 | 5,7        | 225,1 | 6,5        |
| 7200         | 120 | 83,7             | 1,9        | 103,2 | 2,4        | 115,2 | 2,7        | 131,1 | 3,0        | 154,0 | 3,6        | 177,5 | 4,1        | 193,0 | 4,5        | 213,2 | 4,9        | 242,2 | 5,6        |
| 8640         | 144 | 88,8             | 1,7        | 109,5 | 2,1        | 122,3 | 2,4        | 139,2 | 2,7        | 163,4 | 3,2        | 188,4 | 3,6        | 204,8 | 4,0        | 226,3 | 4,4        | 257,1 | 5,0        |
| 10080        | 168 | 93,4             | 1,5        | 115,2 | 1,9        | 128,6 | 2,1        | 146,3 | 2,4        | 171,9 | 2,8        | 198,2 | 3,3        | 215,4 | 3,6        | 238,0 | 3,9        | 270,3 | 4,5        |

# Starkniederschlagshöhen und -spenden gemäß KOSTRA-DWD-2020

## Rasterfeld 196123

(Zeile 196, Spalte 123)

### Örtliche Unsicherheiten in Abhängigkeit von Wiederkehrzeit T und Dauerstufe D

| Dauerstufe D |     | Wiederkehrzeit T |     |     |     |      |      |      |      |       |
|--------------|-----|------------------|-----|-----|-----|------|------|------|------|-------|
|              |     | 1 a              | 2 a | 3 a | 5 a | 10 a | 20 a | 30 a | 50 a | 100 a |
| min          | Std | ± %              | ± % | ± % | ± % | ± %  | ± %  | ± %  | ± %  | ± %   |
| 5            |     | 20               | 21  | 22  | 22  | 23   | 24   | 24   | 24   | 25    |
| 10           |     | 23               | 24  | 25  | 25  | 26   | 27   | 27   | 28   | 28    |
| 15           |     | 24               | 25  | 26  | 27  | 27   | 28   | 29   | 29   | 29    |
| 20           |     | 24               | 25  | 26  | 27  | 28   | 29   | 29   | 29   | 30    |
| 30           |     | 24               | 25  | 26  | 27  | 28   | 28   | 29   | 29   | 30    |
| 45           |     | 23               | 24  | 25  | 26  | 27   | 28   | 28   | 28   | 29    |
| 60           | 1   | 22               | 24  | 24  | 25  | 26   | 27   | 27   | 28   | 28    |
| 90           | 1,5 | 20               | 22  | 23  | 24  | 25   | 25   | 26   | 26   | 27    |
| 120          | 2   | 19               | 21  | 22  | 23  | 24   | 24   | 25   | 25   | 26    |
| 180          | 3   | 18               | 19  | 20  | 21  | 22   | 23   | 23   | 23   | 24    |
| 240          | 4   | 17               | 18  | 19  | 20  | 21   | 21   | 22   | 22   | 23    |
| 360          | 6   | 15               | 17  | 18  | 18  | 19   | 20   | 20   | 21   | 21    |
| 540          | 9   | 14               | 16  | 16  | 17  | 18   | 18   | 19   | 19   | 20    |
| 720          | 12  | 14               | 15  | 16  | 16  | 17   | 18   | 18   | 18   | 19    |
| 1080         | 18  | 14               | 15  | 15  | 15  | 16   | 17   | 17   | 17   | 18    |
| 1440         | 24  | 14               | 14  | 15  | 15  | 16   | 16   | 17   | 17   | 17    |
| 2880         | 48  | 16               | 16  | 16  | 16  | 16   | 16   | 17   | 17   | 17    |
| 4320         | 72  | 17               | 17  | 17  | 17  | 17   | 17   | 17   | 17   | 17    |
| 5760         | 96  | 19               | 18  | 18  | 18  | 18   | 18   | 18   | 18   | 18    |
| 7200         | 120 | 20               | 19  | 19  | 19  | 19   | 19   | 19   | 19   | 19    |
| 8640         | 144 | 21               | 20  | 20  | 20  | 20   | 19   | 19   | 19   | 19    |
| 10080        | 168 | 22               | 21  | 21  | 20  | 20   | 20   | 20   | 20   | 20    |

### Parameter für abweichende T und D

#### Lokationsparameter $\xi$ (Xi)

17,51947975

#### Skalenparameter $\alpha$ (Alpha)

5,67798417

#### Formparameter $\kappa$ (Kappa)

-0,1

#### 1. Koutsoyiannis-Parameter $\theta$ (Theta)

0,01773558

#### 2. Koutsoyiannis-Parameter $\eta$ (Eta)

0,6732804

Parameter für dauerstufenübergreifende Extremwertschätzung nach KOUTSOYIANNIS et al. 1998.

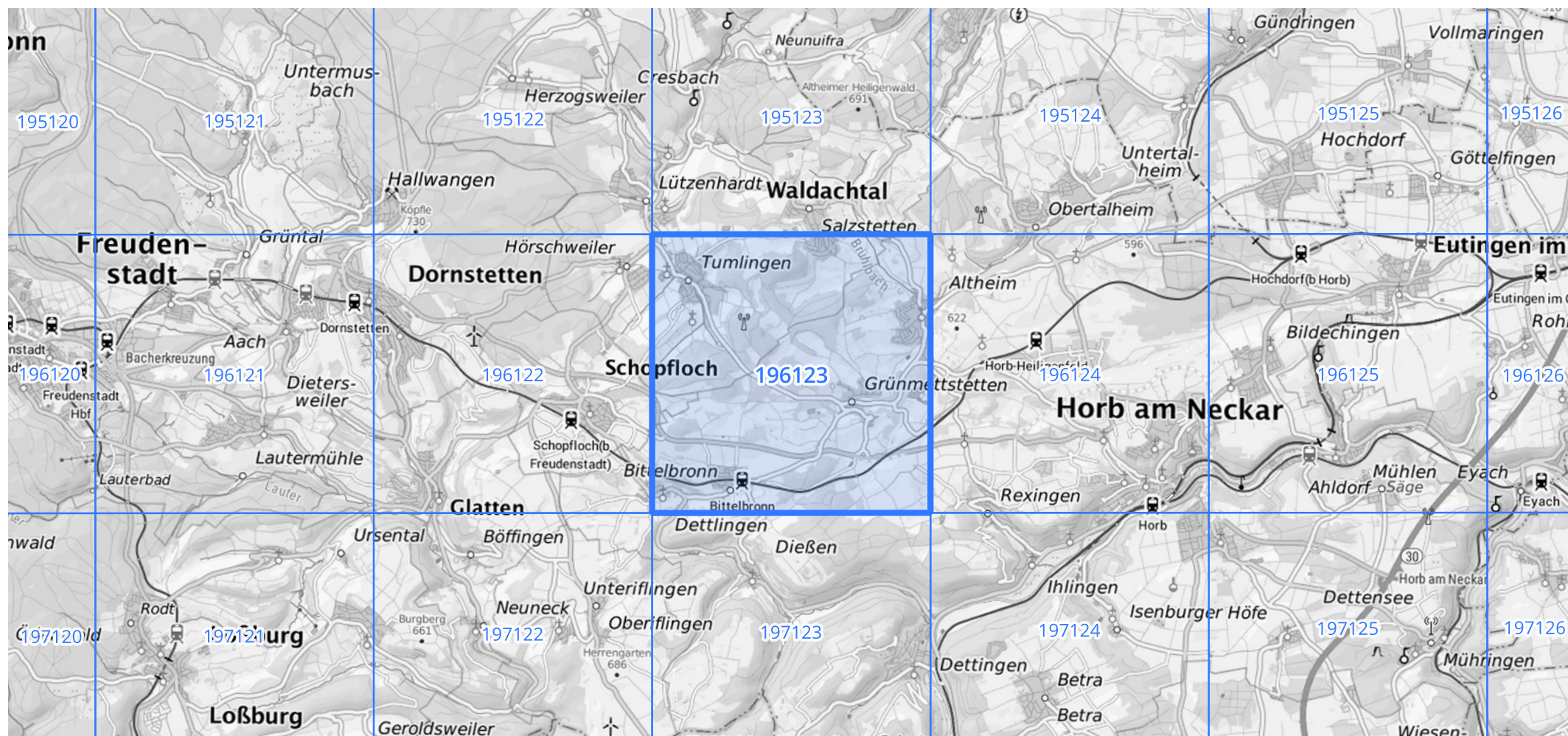
Siehe auch Anwendungshilfe zu KOSTRA-DWD-2020 des Deutschen Wetterdienstes.

# Starkniederschlagshöhen und -spenden gemäß KOSTRA-DWD-2020

## Rasterfeld 196123

(Zeile 196, Spalte 123)

Übersichtskarte des Rasterfeldes 196123, M 1 : 100 000



Quelle Rasterdaten: KOSTRA-DWD-2020 des Deutschen Wetterdienstes, Stand 12/2022.

Seite 3 von 3

Kartendarstellung: © Bundesamt für Kartographie und Geodäsie (2023), Datenquellen: [https://sgx.geodatenzentrum.de/web\\_public/gdz/datenquellen/Datenquellen\\_TopPlusOpen.html](https://sgx.geodatenzentrum.de/web_public/gdz/datenquellen/Datenquellen_TopPlusOpen.html)

Für die Richtigkeit und Aktualität der Angaben wird keine Gewähr übernommen. Erstellt 01/2023.